

کاربرد رویکرد زنجیره‌ی مارکوف در طراحی نمودار کنترل جمع تجمعی برای پایش رضایت و وفاداری براساس مشاهدات رضایت‌سنجدی

یاسو صہیمی (دکتری)

عمد ا... آقامی، * (استاد)

حمد شہد نادی (دانشاد)

دانشکده‌ی مهندسی صنایع، دانشگاه صنعتی خواجه نصیرالدین طوسی

در این نوشتار روشی مبتنی بر آماره‌ی جمع تجمعی برای پایش روند تعییرات میزان رضایت وفاداری مشتریان در سطح انفرادی ارائه می‌شود. برای این منظور تلاش می‌شود تا مقدار آماره‌ی کنتل و پارامترهای نمودار کنتل مطابق با ویژگی‌های منحصر به فرد هر مشتری و با در نظر گرفتن آخرین اطلاعات موجود از رفتار مشتری تنظیم شود. فرض می‌شود داده‌های رضایت سنجی مشتریان در دوره‌های زمانی منظم با استفاده از متغیرهای ترتیبی مناسب در دسترس قرار دارد. در این نوشتار با تأکید بر این موضوع که یک رابطه‌ی تابعی وابسته به زمان بین سطح رضایت و وفاداری مشتری برقرار است، از مدل رگرسیون لجستیک برای نمایش رابطه‌ی دو متغیر مذکور استفاده شده است. به علاوه، با در نظر گرفتن پارامتری که بیان‌گر اطلاعات نامشهود مشتری است امکان به روزرسانی توزیع آماره‌ی جمع تجمعی براساس آخرین مشاهده از رضایت سنجی مشتری فراهم شده است. نمودار کنتل جمع تجمعی متناسب با اطلاعات خاص مشتری به‌کمک رویکرد زنجیره‌ی مارکوف طراحی شود. به این ترتیب، امکان محاسبه‌ی حد کنتل نمودار جمع تجمعی با توجه به ویژگی‌های منحصر به فرد هر مشتری برای دست‌یابی به مقدار مطابق شاخص متوسط طول دنباله در وضعیت تحت کنتل و همچنین ارزیابی توانایی نمودار در شرایط تعییر پارامترهای رفتار مشتری فراهم شده است.

وازگان کلیدی: نمودار کنترل جمع تجمعی، مدل رگرسیون لجستیک ترتیبی،
مدیر مت ارتباط با مشتري، ياسثير، رضامت و وفاداري مشتران.

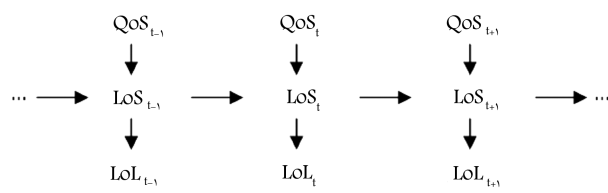
۱. مقدمه

جمع‌تجمعی برای پایش سطح رضایت و میزان وفاداری مشتری مورد بحث قرار می‌گیرد. برای این منظور داده‌های حاصل از طرح رضایت‌سنجی مشتریان مبنای طراحی نمودار کنترل بوده و آنچه مورد تأکید قرار گرفته، وجود رابطه‌ی تابعی بین سطح رضایت‌مندی و میزان وفاداری مشتری است. لازم به ذکر است که نویسنده‌گان مقاله تغییرات محتمل در مدل رضایت - وفاداری را در نگاهی جامع به سه دسته کلی، جزئی و انفرادی تقسیم کردند. تغییرات کلی شامل نوعی از تغییرات است که در برگیرنده‌ی تمامی اعضای جامعه‌ی مشتریان است؛ در حالی که تغییرات جزئی و انفرادی تنها شامل بخشی خاص از جامعه‌ی مشتریان، یا تنها متمرکز بر فرد به خصوصی است. این نوشتار موضوع پایش تغییرات را در سطح انفرادی مورد توجه قرار می‌دهد و بررسی سایر انواع تغییرات به منظور جلوگیری از طولانی شدن مطلب به گزارشی دیگری واگذار شده است.^[۱]

در تحلیل ارزش دوره‌ی عمر مشتریان سازمان، تعدادی از مشتریان از نقطه نظر شاخص‌های متداول برای ارزش‌گذاری مشتری — نظری تناوب خرید، حجم خرید و زمان سپری شده از آخرین خرید — از اولویت بالاتر برخوردارند. طبیعتاً در اجرای سیاست‌های مدیریت ارتباط با مشتری، این گروه از مشتریان که تحت عنوان مشتریان ویژه یا کلیدی نیز شناخته می‌شوند نیازمند برنامه‌ی ریزی ویژه و از جمله لزوم پایش دقیق شاخص‌های عینی و استنباطی هستند. حال اگر پایش سطح رضایت یا میزان وفاداری یک مشتری خاص مد نظر باشد می‌توان با استفاده از یک روش پایش خاص با دقت بیشتری روند تغییرات معیارهای رفتاری یا استنباطی مشتری را مودد *(رسمه)* قرار داد. با این هدف، در این مقاله نحوه‌ی بهکارگیری نمودار کشترا،

نویسنده مسئول *

تاریخ: دریافت ۱۱/۷/۱۳۹۱، اصلاحیه ۱۴، پذیرش ۱۰/۱/۱۳۹۱.



شکل ۱. ارتباط بین متغیرهای مدل شامل کیفیت خدمت (QoS), سطح رضایت (LoS) و سطح وفاداری (LoL) در رویکرد اول.

می‌کند، در شکل ۱ ارائه می‌شود. فرض می‌کنیم: ۱. در هر دوره رضایت مشتری براساس داده‌های رضایت‌سنجی از طریق مقیاس لیکرت در K سطح اندازه‌گیری می‌شود؛^{۱۵} ۲. تمايل مشتری برای ادامه یا قطع ارتباط با عرضه‌کننده از طریق اقدام او برای تمدید یا عدم تمدید قرارداد قابل تشخیص است.

شکل ۱ به ترتیب بیان گر سطح کیفیت خدمت ارائه شده، میزان رضایت و سطح وفاداری مربوط به یک مشتری در دوره زمانی t است. مقادیر متغیر تصادفی LoS_t با S_i ($i = 1, \dots, K$) نشان داده می‌شود و بیان گر K سطح رضایت در طیف مقادیر رضایت کامل تا عدم رضایت کامل است. مقدار متغیر تصادفی LoL_t که وفاداری مشتری را در دوره زمانی t نشان می‌دهد با احتمال مشخصی که وابسته به سطح رضایت مشتری است یکی از دو مقدار ۱ (به معنای تمايل برای خرید مجدد) یا صفر (به معنای عدم تمايل برای ادامه‌ی استفاده از خدمت) را می‌پذیرد. بنابراین در هر دوره تعدادی از مشتریان تصمیم به جدایی از سازمان می‌گیرند. در مقابل، سازمان در ابتدای هر دوره اقدام به جذب مشتریان جدید می‌کند. اگرچه موضوع بهینه‌سازی نز جذب مشتریان جدید برای ایجاد روند موردنظر در تعداد مشتریان در این بخش بررسی نمی‌شود، فرض می‌کنیم نز جذب مشتری جدید که با نماد λ نمایش داده می‌شود چنان تنظیم می‌شود که متوسط تعداد مشتریان در یک سطح مشخص ثابت باقی بماند.

در اینجا روابط مدل بیان می‌شود. فرض می‌شود میزان رضایت‌مندی در هر دوره متأثر از سطح رضایت در دوره‌های پیشین است. در این مقاله از یک فرایند مارکوف گستته با K سطح و یک واحد تأخیر زمانی برای بیان این ارتباط استفاده می‌شود. در نظر بگیرید ماتریس Q بیان گر ماتریس انتقال سطح رضایت برای دوره t باشد که مؤلفه‌های آن تابعی از سطح کیفیت خدمت در دوره t ، مشخصات منحصر به فرد هر مشتری، و همچنین اقدامات بازاریابی سازمان همچون قیمت‌گذاری یا تخفیفات و پیشنهادهای دوره مورد نظر است.

$$Q_t = \begin{bmatrix} q_{1 \rightarrow 1,t} & \dots & q_{1 \rightarrow k,t} \\ \vdots & \ddots & \vdots \\ q_{k \rightarrow 1,t} & \dots & q_{k \rightarrow k,t} \end{bmatrix} \quad (1)$$

به طوری که $\sum_{j=1}^K q_{i \rightarrow j,t} = 1$ ($\forall i \in \{1, 2, \dots, K\}$) و داریم:

$$q_{i \rightarrow j,t} = P(LoS_t = j | LoS_{t-1} = i, CDV, QoS_t, \mathbf{a}_{1:t}, \theta_t); \quad (2)$$

CDV بیان گر مشخصات مشهود و منحصر به فرد مشتری، مانند مشخصات جمعیت‌شناسخی، اجتماعی یا جغرافیایی است. اگرچه به نظر می‌رسد استفاده از بردار برای نمایش ویژگی‌های مذکور مناسب‌تر است. در نمونه‌های عددی مقاله از نماد CDV به عنوان اسکالاری که می‌تواند یک امتیاز خلاصه برای ویژگی‌های قابل مشاهده‌ی مشتری تلقی شود استفاده خواهد شد، و مقادیر آن از یک متغیر تصادفی با

موردنظر بوده است در اینجا به نقل از مطالعات و بررسی‌های متعدد شواهدی در این خصوص ارائه می‌شود. مدل سازی معادلات ساختاری به وضوح بیان می‌دارد که میزان وفاداری مشتری به شکلی معنادار متأثر از سطح رضایت‌مندی است.^{۱۶} بررسی‌های متعدد مبتنی بر بهکارگیری روش‌های طبقه‌بندی حاکمی از تأثیر معنادار میزان رضایت‌مندی مشتری بر تصمیم او برای قطع یا ادامه‌ی ارتباط با عرضه‌کننده است.^{۱۷} همچنین، مدل سازی رگرسیون باقی نشان می‌دهد رضایت‌مندی مشتری از مهم‌ترین عوامل مؤثر بر طول دوره‌ی ارتباط تا لحظه‌ی خاتمه‌ی همکاری با عرضه‌کننده است.^{۱۸} به علاوه، نتایج یک بررسی نشان می‌دهد که قدرت تشخیص کاهش در نز وفاداری مشتریان در روشی که براساس رابطه‌ی تابعی دو متغیر وفاداری و رضایت توسعه می‌یابد به میزان قابل توجهی بیش از روشی است که در تحلیل میزان وفاداری، مشتریان را به لحاظ سطح رضایت‌مندی به شکل یکنواخت مورد توجه قرار داده است.^{۱۹}

استفاده از ابزار کنترل فرایند آماری برای پایش نگرش و رفتار مشتری، بهویه در سال‌های اخیر توسط محققین موردنظر بررسی قرار گرفته است. موضوع پایش مستمر شاخص‌های عینی و استنباطی ذی‌نفعان همچنین در الگوهای سرمادی کسب و کار، مدل‌های مدیریت کیفیت و نظام ارزیابی عملکرد سازمانی موردن‌آور تأکید واقع شده است. البته دسته‌بندی بررسی‌های انجام شده در زمینه‌ی پایش رفتار مصرف‌کننده از نقطه‌نظر هدف پایش، موضوعی قابل تأمل است. در این خصوص شاید بتوان شناسایی تغییر در نز وفاداری مشتری، تشخیص تقلب یا سوء استفاده در مصرف خدمات و همچنین کشف ایجاد تداخل در عملکرد شبکه‌های رایانه‌ی را به عنوان برخی از مهم‌ترین اهداف موردنظر توجه در مطالعات برشمرد. برای نمونه، جیانگ و همکاران (۲۰۰۷) براساس یک مدل خطی بوسیله نمودار شوهرت برای پایش تغییرات سطح مصرف کاربر در خدمات مخابراتی استفاده می‌کنند.^{۲۰} همچنین تیسانگ و همکاران (۲۰۰۷) به بررسی کاربرد روش تحلیل مؤلفه‌های اصلی چندطرفه برای تشخیص تقلب کاربر در استفاده از خدمات مخابراتی پرداخته‌اند.^{۲۱} همچنین، یه و چن (۲۰۰۷) از روشی مبتنی بر مدل شوهرت برای شناسایی داده‌های غیرطبیعی در فعالیت کاربران یک شبکه‌ی رایانه‌ی استفاده می‌کنند.^{۲۲} نهایتاً در رابطه با موضوع مطالعه‌ی حاضر، می‌توان به مقاالتی اشاره کرد که مستقیماً بر بهکارگیری نمودار کنترل برای پایش رضایت‌مندی یا وفاداری مشتریان متمرکز بوده‌اند.^{۲۳} ایسلیزری و همکاران (۲۰۰۹) به کاربرد نمودار کنترل نسبت اقلام معیوب برای پایش داده‌های رضایت‌سنجی بیماران اشاره می‌کنند.^{۲۴} همچنین کنت و همکاران (۲۰۱۱) به بررسی پیشرفت‌های صورت گرفته در خصوص تحلیل آماری داده‌های رضایت‌سنجی مشتری، مانند کاربرد نمودارهای کنترل، پرداخته‌اند.^{۲۵}

ساختار ارائه‌ی مطالعه در این مقاله در دو بخش اصلی بر این اساس که «آیا متغیر پاسخ رابطه‌ی رضایت - وفاداری به شکل پایزی یا به شکل ترتیبی گزارش می‌شود؟» تعریف شده است. در هر بخش پس از توصیف مدل اصلی، بیان فرضیات و روابط رگرسیونی مربوطه نحوی طراحی نمودار جمع‌نگمعی مفصل‌اً توضیح داده می‌شود.

۲. رویکرد اول: وفاداری به عنوان یک متغیر تصادفی برنولی

مدلی که در این قسمت ساختار ارتباط درجه کیفیت خدمت، سطح رضایت‌مندی مشتری و در نهایت تصمیم او مبنی بر ادامه یا قطع ارتباط با عرضه‌کننده را تبیین

کوتاه مدت و بلندمدت برنامه های بازاریابی بدین شکل در مونتاژ و همکاران (۲۰۱۰) نیز مورد استفاده قرار گرفته است.^[۱۶] نهایتاً لازم به ذکر است در این قسمت توزیع پیشین برای پارامتر θ , یک توزیع بتای محدود به دامنه صفر تا ۱ با پارامترهای مشخص α_1 و α_2 در نظر گرفته شده است.تابع چگالی مربوطه و نحوه بروزسازی توزیع پارامتر θ براساس آخرین مشاهده در دسترس از رفتار مشتری و با استفاده از تابع درست نسایی مشاهدات در ضمیمه ارائه شده است.

پیش از بحث درباره نحوه توسعه نمودار کنترل، خاطرنشان می سازد پارامترهای مدل ارائه شده -- شامل ضرایب روابط رگرسیونی و همچنین پارامترهای توزیع پیشین متغیر θ -- با استفاده از مشاهدات طرح رضایت سنجی مشتریان و به کمک روش پیش ترین درست نمایی قابل بآوردن است. در اینجا برای جلوگیری از طولانی شدن مطلب از بیان توضیحات در این خصوص خودداری شده اما برای کسب اطلاعات در این ارتباط می توان به مطالعات انجام شده^[۱۷] رجوع کرد.

۱.۲. طراحی نمودار کنترل جمع تجمعی در سطح انفرادی

چنانچه کشف تغییرات افزایشی در سطح رضایت مشتری مورد توجه باشد، با رجوع به رابطه ۳ و در نظر گرفتن پارامتر α_1 به عنوان پارامتر طراحی نمودار کنترل، مطابق هاکوینز و اولول (۱۹۹۹)، رابطه ای مرسوم برای نمودار جمع تجمعی را چنین در نظر می گیریم:^[۱۸]

$$C_t^+ = \max(0, C_{t-1}^+ + \omega_t); \quad t = 1, 2, \dots \quad (6)$$

به طوری که $C_0^+ = 0$. همچنین ω_t وزن تخصیص یافته به مشاهده در زمان t است که چنانچه به شکل $[L(\alpha_1^{Oc}; LoS_t)/L(\alpha_1^{Ic}; LoS_t)]$ تعریف شود^[۱۹] با در نظر گرفتن مقداری مشخص برای متوسط طول دنباله در وضعیت تحت کنترل (ARL_c), نموداری با حداقل متوسط طول دنباله، برای کشف تغییر در پارامتر مورد نظر از مقدار تحت کنترل α_1^{Ic} به مقدار جدید α_1^{Oc} به دست می آید. بالاترین پارامتر α_1 یعنی نمادهای Ic و Oc به ترتیب بیانگر مقادیر تحت کنترل و خارج از کنترل هستند. بدین ترتیب برای استفاده از نمودار کنترل جمع تجمعی، پس از دریافت مشاهده در زمان t و محاسبه ای وزن مربوطه (ω_t), در صورتی که مقدار آماره ای کنترل C_t^+ از حد کنترل نمودار که با نمایش H_t^+ نمایش داده خواهد شد تجاوز کند نتیجه می گیریم که مقدار پارامتر مورد نظر با تغییر معنادار مواجه شده است. حد کنترل H_t^+ برای دست یابی به مقدار مشخصی از معیار ARL_c تعیین می شود.

به دلیل وجود وابستگی در مقادیر آماره جمع تجمعی بخلاف نمودارهای شوهرات تعیین مقدار متوسط طول دنباله به راحتی امکان پذیر نیست. برای ارزیابی عملکرد نمودار جمع تجمعی روش های مختلفی به منظور تعیین شاخص متوسط طول دنباله معروف شده است. در اینجا نحوه استفاده از رویکرد زنجیره ای مارکوف برای محاسبه ای متوسط طول دنباله شرح داده می شود.^[۲۰] چنان که در رابطه ۶ بیان شد مقدار آماره جمع تجمعی در هر دوره برحسب مقدار آن در دوره ای قبل، وزنی که برحسب مقدار مشاهده در دوره حاضر محاسبه می شود قابل حصول است. در نظر بگیرید برای بررسی نحوه انتقال آماره جمع تجمعی از مرحله ای $t-1$ به مرحله ای t , مقادیر قابل پذیرش در فاصله صفر تا H_t^+ در بخش با طول مساوی $w = H_t^+/m$ تقسیم شده است. به عبارت دیگر نواحی تشکیل شده در فضای اعداد حقیقی مشتمل شامل $m+1$ ناحیه به صورت $[w, 2w], [w, w], [w, -w], [-w, -2w]$ می توان با استفاده از رابطه γ , احتمال انتقال آماره جمع تجمعی را طی مرحله ای

توزیع نرمال استاندارد حاصل می شود. a_{1t} نمادی برای اقدامات بازاریابی سازمان و در نهایت θ نشان دهنده بخش نامشهود اطلاعات مشتری است. به عبارت دیگر، از آنجا که ممکن است کلیه اطلاعات لازم برای تفکیک مشتریان در دسترس نباشد، بخشی از اطلاعات به عنوان اطلاعات مشهد و بخشی دیگر در قالب یک متغیر تصادفی به عنوان بخش نامشهود اطلاعات مشتری در این راسته منظور شده است. در اینجا مطابق رابطه γ از مدل رگرسیون لجستیک ترتیبی برای بیان نحوه تأثیر سطح کیفیت خدمات بر میزان رضایت مندی مشتری استفاده می شود.

$$\begin{aligned} q_{i-1,t} &= \frac{1}{1 + e^{-(\alpha_{i-1} + \alpha_i \times i + CDV' \alpha_{1t} + \alpha_{\tau} QoS_t + \alpha'_{1t} \alpha_{\tau} + \theta_t)}} \\ q_{i-j,t} &= \frac{1}{1 + e^{-(\alpha_j + \alpha_i \times i + CDV' \alpha_{1t} + \alpha_{\tau} QoS_t + \alpha'_{1t} \alpha_{\tau} + \theta_t)}} \\ q_{i-k,t} &= 1 - \frac{1}{1 + e^{-(\alpha_{K-1} + \alpha_i \times i + CDV' \alpha_{1t} + \alpha_{\tau} QoS_t + \alpha'_{1t} \alpha_{\tau} + \theta_t)}} \\ i &\in \{1, 2, \dots, K\}, \quad j \in \{2, \dots, K-1\} \end{aligned} \quad (3)$$

در مدل فوق $\alpha_i, \alpha_{\tau}, \alpha_{1t}, \alpha'_{1t}, \theta_t, i = 1, \dots, K-1$, مقادیر عرض از مبدأ α_j , $j = 1, \dots, 4$, سایر ضرایب مدل را نشان می دهد. به علاوه، برای تعیین سطح رضایت مشتری در پایان اولین دوره از رابطه γ استفاده می شود که در آن $\gamma_1 = 1, \dots, K$, γ_2 احتمال کسب سطح رضایت i در پایان اولین دوره ای شروع ارتباط با عرضه کننده است.

$$\gamma_i = P(LoS_t = i | CDV, QoS_t, \alpha_{1t}, \theta_t); \quad i \in \{1, 2, \dots, K\} \quad (4)$$

به طوری که $\sum_{i=1}^K \gamma_i = 1$. مدل رگرسیون لجستیک برای محاسبه مقادیر γ_i در ضمیمه ارائه شده است. در سطح دوم مدل، از مدل رگرسیون لجستیک بازیزی برای نمایش مقدار و فاکتور که متأثر از میزان رضایت مندی مشتری است استفاده می شود. ارزش انتظاری میزان و فاکتور که در اینجا به عنوان یک متغیر صفر و ۱ منظور شده است به کمک رابطه γ نشان داده می شود. در این رابطه $\gamma_i = 1, \dots, K$, $\beta_0, \beta_1, \beta_2$ مقادیر عرض از مبدأ مدل، و β_3 سایر ضرایب مدل محسوب می شوند. همچنین فرض می شود $\beta_0 < \beta_1 < \beta_2 < \dots < \beta_K$.

$$p_{it} = P(LoL_t = 1 | LoS_t = i, CDV, \alpha_{1t}, \theta_t)$$

$$= \frac{1}{1 + e^{-(\beta_0 + CDV' \beta_1 + \alpha'_{1t} \beta_2 + \theta_t)}}; \quad i \in \{1, 2, \dots, K\} \quad (5)$$

p_{it} , $i = 1, \dots, K-1$, نشان دهنده تمایل مشتری برای خرید در دوره ای آتی است که به صورت تابعی از سطح رضایت مندی او در دوره t , مشخصات معلوم و نامعلوم او و همچنین اقدامات بازاریابی سازمان تعریف شده است. فاکتور α_{1t} بیانگر اقدامات بازاریابی سازمان با تأثیر کوتاه مدت است. شایان توجه است که وجود α_{1t} در رابطه γ بر ماتریس انتقال سطح رضایت مشتری تأثیرگذار است و بدین ترتیب می تواند روند بلندمدت رفتار مشتری را تحت تأثیر قرار دهد. این گونه برنامه های بازاریابی ممکن است شامل ارائه ای امتیاز از طریق به کار گیری کارت و فاکتوری، یا ارائه خدمات ویژه به شکل مستمر به مشتریانی با حجم یا تابع خرید بالا باشد. در مقابل فاکتور α_{1t} به گونه بی در مدل ۵ منظور شده است تا بر سطح و فاکتور مشتری در دوره t تأثیرگذار باشد. اقداماتی همچون ارائه تخفیفات کلی یا قیمت های ویژه برای یک دوره زمانی خاص می تواند صرف نظر از سطح رضایت مشتری بر تصمیم مشتری برای خرید مجدد یا جدایی در یک دوره مشخص مؤثر باشد. تفکیک تأثیر

۱- به مرحله‌ی t محاسبه کرد:

$$f_{ij} = P[(j-1).w < C_t^+ < j.w | (i-1).w < C_{t-1}^+ < i.w]; \\ i = (1, \dots, m), \quad j = (1, \dots, m) \quad (7)$$

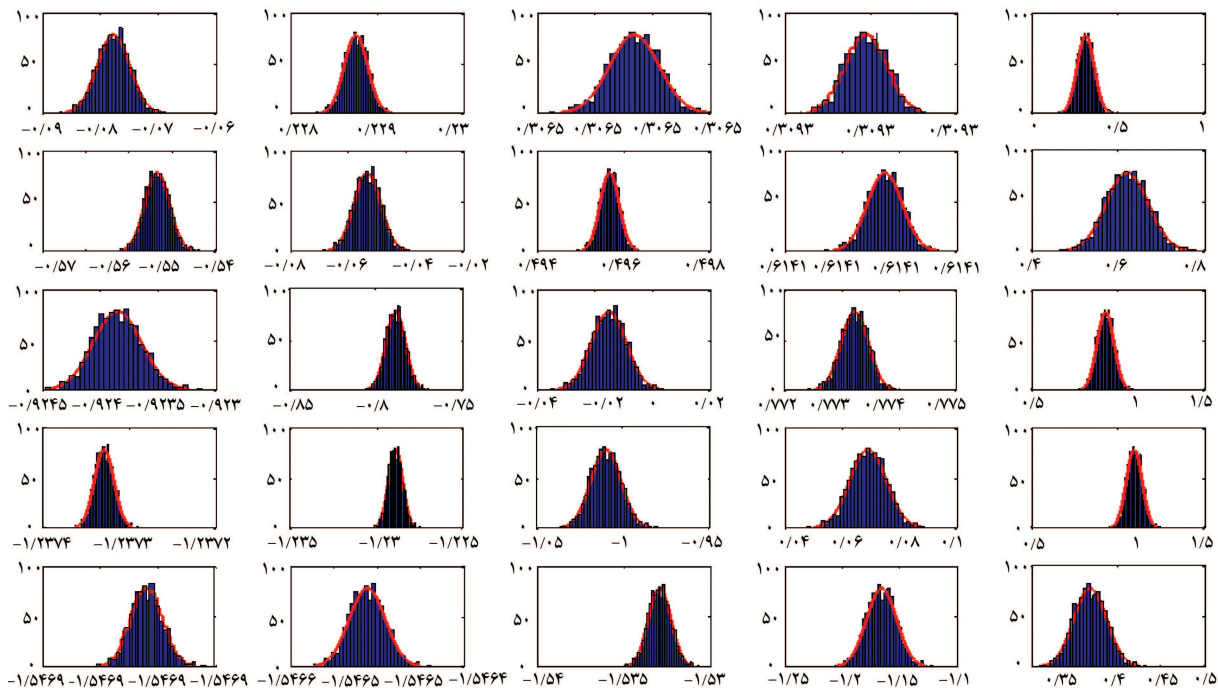
به منظور تسهیل محاسبات، چنانچه به ازای m بزرگ، عبارت پس از علامت شرط به صورت تقریبی به شکل $C_{t-1}^+ = (2i+1)w/2$ خلاصه شود، می‌توان f_{ij} را چنین محاسبه کرد:

$$f_{ij} = P[(j-1)w - (2i+1)w/2 < \omega_t < jw - (2i+1)w/2] \\ = F_{\omega_t}(jw - (2i+1)w/2) - F_{\omega_t}((i-1)w - (2i+1)w/2) \\ i = (1, \dots, m), \quad j = (1, \dots, m) \quad (8)$$

که در آن F_{ω_t} نمادتابع توزیع تجمعی متغیر ω_t است. برای محاسبه‌ی مقدار f_{ij} به طور مشخص لازم است توزیع آماری متغیر ω_t تعیین شود. خاطرنشان می‌شود متغیر LOS_t در هر دوره یکی از سطوح S_i ($i = 1, \dots, K$) را با احتمالات ارائه شده در رابطه‌ی ۳ می‌بزد. برای اساس مقدار وزن مربوط به مشاهده در هر دوره، ω_t یا لگاریتم تابع درستنمایی به صورت زیر محاسبه می‌شود:

$$\omega_t = \log \left[\frac{L(\alpha_1^{Oc}; LOS_t)}{L(\alpha_1^{Ic}; LOS_t)} \right] = \log \left[\frac{\int_{\theta_t} q_{i-j,t}^{Oc} g(\theta_t | r, s) d\theta_t}{\int_{\theta_t} q_{i-j,t}^{Ic} g(\theta_t | r, s) d\theta_t} \right]; \\ \forall i, j \in \{1, 2, \dots, K\} \quad (9)$$

که در آن $q_{i-j,t}^{Ic}$ و $q_{i-j,t}^{Oc}$ ($i, j = 1, \dots, K$)، به ترتیب نشان‌دهنده‌ی مقدار احتمال مربوط به مشاهده‌ی مورد نظر به ازای مقادیر α_1^{Ic} و α_1^{Oc} هستند.



شکل ۲. توزیع وزن مشاهدات در آماره‌ی جمع تجمعی برای کشف تغییرات افزایشی در میزان رضایت برای مشتری با $CDV = ۰,۵$.

به طوری که $C_t^- = \min(\alpha^I, C_{t-1}^- - \omega_t)$. توجه به تفاوت آماره‌ی وزن در روابط 12 و 6 لازم است. در رابطه‌ی فوق، مقدار پارامتر طراحی در شرایط خارج از کنترل (α^{Oc}) از مقداری متفاوت با مقدار منظورشده در رابطه‌ی 6 برخوردار است. برای محاسبه‌ی مقدار متوسط طول دنباله در شرایط تحت کنترل و به تبع آن تعیین مقدار مطلوب برای حد کنترل نمودار که در این مرد با نماد H^- نشان داده می‌شود می‌توان از رویه‌ی مشابهی که در قبیل برای تعیین حد کنترل H^+ بیان شد استفاده کرد.

به عنوان یک نمونه عددی وضعیتی را در نظر می‌گیریم که در طراحی آماره‌ی جمع تجمعی، رابطه‌ی $\alpha^I = \alpha^{Oc} = 1/1$ منظور شده است. این مقادیر برای طراحی آماره‌ی جمع تجمعی مطابق رابطه‌ی 6 و با هدف کشف تغییرات افزایشی در پارامتر مورد نظر تعیین شده است. همچنین مقدار $\alpha^{Ic} = 0/9$ برای طراحی نمودار آماره‌ی C_t^- مطابق رابطه‌ی 12 برای کشف تغییرات کاهشی انتخاب می‌شود. برای مثال، اگر مشتری با مقدار $CDV = 0/5$ در نظر گرفته شود نمودارهای کنترل جمع تجمعی در شکل 3 برای کشف تغییری برابر با $1/5 \times \alpha^{Ic} = 0/5$ بازی $\pi_j = 1, \dots, K$ و مقادیر پارامترهای بیان شده در قبیل مشاهده می‌شود.

موضوعی که در اینجا بطور مختصر به آن پرداخته می‌شود نحوه‌ی تعیین متوسط طول دنباله در زمانی است که از نمودار دوطرفه برای کشف هم‌زمان تغییرات افزایشی یا کاهشی در پارامتر طراحی استفاده می‌شود. بین مقادیر متوسط طول دنباله کل و مقادیر مربوطه برای آماره‌ی C_t^+ و C_t^- رابطه‌ی 13 برقرار است.^[۲۱]

$$\frac{1}{ARLT} \geq \frac{1}{ARLU} + \frac{1}{ARL} \quad (13)$$

در شرایطی که توزیع متغیر مورد نظر نرمال باشد رابطه‌ی 13 به شکل تساوی برقرار خواهد بود. در اینجا برای محاسبه‌ی مقدار متوسط طول دنباله هنگام استفاده‌ی هم‌زمان از هر دو نمودار جمع تجمعی با استفاده از رابطه‌ی فوق به ذکر نامسماوی بسته می‌شود. در نهایت به بررسی نحوه‌ی محاسبه‌ی متوسط طول دنباله در شرایط خارج از کنترل می‌پردازم. با مراجعت به رابطه‌ی 10 می‌توان برای محاسبه‌ی مقدار متوسط طول دنباله در وضعیت خارج از کنترل (ARL_1), پس از تجدید نظر در مقدار ماتریس انتقال سطح رضایت را با R نشان می‌دهیم. گفتنی است که مقادیر ماتریس انتقال سطح رضایت برای شرایط خارج از کنترل به طور مشابه پس از تعیین مقدار پارامتر α_1 در وضعیت خارج از کنترل و سپس تجدید نظر در مقادیر $(j|q_i)$ قابل حصول است. این بدان معناست که برای محاسبه‌ی شاخص متوسط طول دنباله در وضعیت خارج از کنترل بدون نیاز به تعیین مجدد مقدار اوزان مشاهدات، لازم است صرفاً در توزیع احتمال پذیرش اوزان بازنگری شود. پس از تعیین مقادیر $(j|q_i)$ به کمک رابطه‌ی 8 , برای محاسبه‌ی مقدار متوسط طول دنباله نمودار جمع تجمعی در شرایط پایدار از رابطه‌ی 11 استفاده می‌کنیم.

ماتریس انتقال سطح رضایت را با $\pi'_{CUSUM}(\mathbf{I} - \mathbf{Q}_{CUSUM})^{-1}$ (۱۰) برای این اساس می‌توان به یک ماتریس انتقال مشخص با اندازه $K \times K$ براي انتقال LOS_{t-1} به LOS_t دست یافته که چنانچه احتمالات حدی آن با استفاده از مجموعه معادلات 10 تعیین شود می‌توان توزیع احتمالی آماره‌ی π_j را که با نماد $E(q_{i-j}|q_i|r, s)h(QoS|\mu_{QoS}, \sigma_{QoS})d\theta dQoS$ شکل $(i, j = 1, \dots, K)$ و در وضعیت تحت کنترل محاسبه می‌شود.

برای این اساس می‌توان به یک ماتریس انتقال مشخص با اندازه $K \times K$ براي انتقال LOS_t به LOS_{t-1} دست یافته که چنانچه احتمالات حدی آن با استفاده از مجموعه معادلات 10 تعیین شود می‌توان توزیع احتمالی آماره‌ی π_j را که با نماد $E(q_{i-j}|q_i|r, s)h(QoS|\mu_{QoS}, \sigma_{QoS})d\theta dQoS$ شکل $(i, j = 1, \dots, K)$ و در وضعیت تحت کنترل محاسبه می‌شود.

$$\begin{cases} \pi_j = \sum_{i=1}^K \pi_i E(q_{i-j}), & \forall j \in \{1, \dots, K\} \\ \sum_{j=1}^K \pi_j = 1, \end{cases} \quad (10)$$

ماتریس انتقال سطح رضایت را با π'_{CUSUM} می‌دهیم. گفتنی است که مقادیر ماتریس انتقال سطح رضایت برای شرایط خارج از کنترل به طور مشابه پس از تعیین مقدار پارامتر α_1 در وضعیت خارج از کنترل و سپس تجدید نظر در مقادیر $(j|q_i)$ قابل حصول است. این بدان معناست که برای محاسبه‌ی شاخص متوسط طول دنباله در وضعیت خارج از کنترل بدون نیاز به تعیین مجدد مقدار اوزان مشاهدات، لازم است صرفاً در توزیع احتمال پذیرش اوزان بازنگری شود. پس از تعیین مقادیر $(j|q_i)$ به کمک رابطه‌ی 8 , برای محاسبه‌ی مقدار متوسط طول دنباله نمودار جمع تجمعی در شرایط پایدار از رابطه‌ی 11 استفاده می‌کنیم.

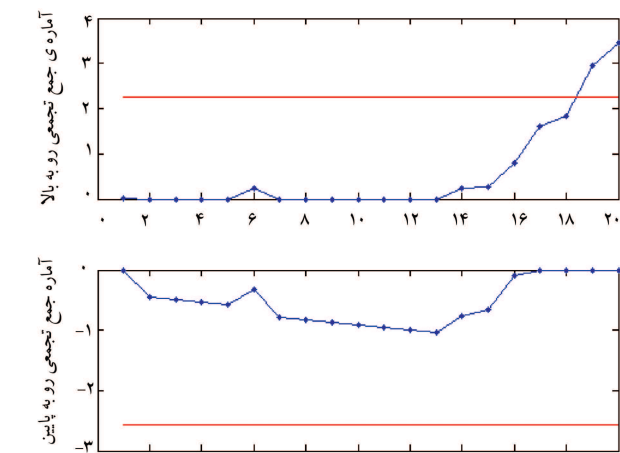
$$ARL_1 = \pi'_{CUSUM}(\mathbf{I} - \mathbf{Q}_{CUSUM})^{-1} \quad (11)$$

به طوری که π'_{CUSUM} بردار احتمالات حدی با ابعاد $m \times 1$ مربوط به شرایط تحت کنترل برای نمودار کنترل جمع تجمعی است. این بردار توسط رابطه‌ی 10 و بعد از جایگذاری m به جای K , و همچنین f_{ij} به جای $(j|q_i)$ قابل محاسبه است. گفتنی است بردار احتمالات حدی ماتریس انتقال نمودار جمع تجمعی در شرایط تحت کنترل، برای محاسبه‌ی مقدار متوسط طول دنباله در شرایط خارج از کنترل نیز به نحوی که در ادامه خواهیم دید مورد استفاده قرار خواهد گرفت. ۱. بردار یکه با ابعاد $1 \times m$ است. \mathbf{Q}_{CUSUM} ماتریس انتقال نمودار جمع تجمعی شامل مقادیر f_{ij} , با ابعاد $m \times m$ است.

حال می‌توان مقدار حد کنترل نمودار (H^+) را برای دست یابی به مقدار معینی از متوسط طول دنباله در شرایط تحت کنترل (ARL_1) محاسبه کرد. برای مثال مقدار حد H^+ در مورد یک مشتری با مشخصات داده شده در قبیل $\alpha_1 = 0/5$ با مقدار $ARL_1 = 200$ برابر $2/3252$ به دست می‌آید.

در اینجا یادآور می‌شود که اگرچه نمودار کنترل جمع تجمعی ارائه شده در رابطه‌ی 6 برای کشف تغییرات افزایشی در پارامتر α_1 معروفی شد، اما می‌توان آماره‌ی مشابهی برای کشف تغییرات کاهشی نیز طراحی کرد که چنین محاسبه می‌شود:

$$C_t^- = \min(0, C_{t-1}^- - \omega_t); \quad t = 1, 2, \dots \quad (12)$$

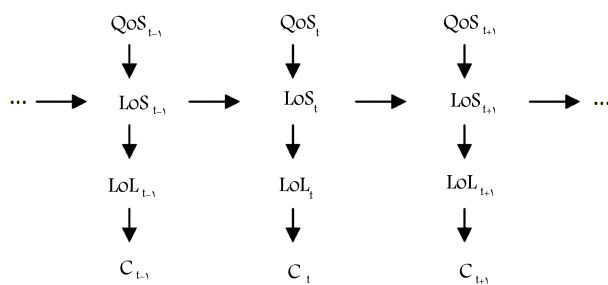


شکل ۳. یک نمونه از نمودار کنترل جمع تجمعی دو طرفه با $ARL_1 = 200$ برای کشف تغییر در مقدار پارامتر α_1 برای یک مشتری با $CDV = 0/5$ (اندازه t). تغییر $\alpha^{Ic} \times \alpha^{Ic} = 1/5$, زمان ایجاد تغییر $t = 11$, زمان کشف تغییر $t = 20$.

اطلاعات داده شده در قبیل در جدول ۱ مقدار شاخص متوسط طول دنباله در وضعیت خارج از کنترل برای تغییراتی که در پارامتر α رخ داده است ارائه می‌شود. این جدول به ازای $ARL = 200$ ارائه شده است.

۳. رویکرد دوم: وفاداری مشتری به عنوان یک متغیر تصادفی ترتیبی

در این قسمت، در نظر بگیرید وفاداری همانند میزان رضایت مشتری به کمک یک مقیاس ترتیبی با بیش از دو گزینه تعیین شود. در اینجا فرض خواهد شد سطح وفاداری که با نماد LoS_t نشان داده می‌شود براساس یک مقیاس K گزینه‌یی تعریف می‌شود و مقدار L_j ($j = 1, \dots, K$) را می‌پذیرد. مقادیر مذکور یک مقیاس ترتیبی با گزینه‌های مناسب -- شامل دامنه‌ی مقادیر تمایل کامل برای ادامه‌ی خرید از محصول یا استفاده از خدمت تا عدم تمایل کامل برای ادامه‌ی تعامل با عرضه‌کننده -- تشکیل می‌دهند. به علاوه در اینجا جدایی مشتری از سطح وفاداری مشتری به عنوان رخدادی تلقی می‌شود که احتمال وقوع آن وابسته به سطح وفاداری مشتری است. چگونگی تأثیرگذاری متغیرهای مدل و نحوه ارتباط آنها در شکل ۴ نشان داده شده است. مطابق نمودار متغیر C_t به عنوان یک متغیر باینری برای نمایش



شکل ۴. ارتباط بین متغیرهای مدل شامل کیفیت خدمت، سطح رضایت و سطح وفاداری در رویکرد دوم.

جدول ۱. مقادیر متوسط طول دنباله‌ی نمودار کنترل جمع تجمعی برای کشف تغییر در مقدار ضریب α در ماتریس انتقال رضایت برای یک مشتری با $CDV = 0.5$

$\frac{ARL_U^m \cdot ARL_D^m}{ARL_U^m + ARL_D^m}$	$ARL_{Downward}^{modified}$	$ARL_{Upward}^{modified}$	$\frac{ARL_U^O \cdot ARL_D^O}{ARL_U^O + ARL_D^O}$	$ARL_{Downward}^{ordinary}$	$ARL_{Upward}^{ordinary}$	$\Delta = \alpha_1^{Oc} / \alpha_1^{Ic}$
۱۴,۸۲	۲۳,۰۶	—	۳۱,۰۲	۳۱,۰۲	—	۰,۵
۲۲,۸۹	۲۳,۳۸	—	۳۰,۹۳	۳۰,۹۲	—	۰,۶
۲۴,۹۶	۲۴,۹۸	—	۳۱,۸۲	۳۱,۸۲	—	۰,۷
۲۹,۸۶	۲۹,۸۶	—	۳۵,۶۲	۳۵,۶۲	—	۰,۸
۴۷,۴۸	۴۷,۷۲	—	۵۱,۲۹	۵۱,۵۸	—	۰,۹
۱۰۰,۲۲	۲۰۰,۰۹	۲۰۰,۸۱	۱۰۰,۱۸	۲۰۰,۰۰	۲۰۰,۷۲	۱
۱۳,۹۸	—	۱۴,۰۱	۱۰,۶۱	—	۱۰,۶۳	۱/۱
۷,۰۴	—	۷,۰۴	۵,۶۰	—	۵,۶۰	۱/۲
۵,۰۶	—	۵,۰۶	۵,۲۳	—	۵,۲۳	۱/۳
۴,۲۵	—	۴,۲۵	۵,۱۷	—	۵,۱۷	۱/۴
۳,۸۶	—	۳,۹۲	۵,۱۶	—	۵,۱۶	۱/۵

تحت کنترل، شرایط رفتار مشتری به یک شرایط پایدار منجر شده باشد احتمال قرار گرفتن در هر یک از K سطح رضایت‌مندی برای را احتمالات حدی ماتریس انتقال خواهد بود. با ایجاد تغییر در پارامتر مورد نظر، مشتری با احتمال مشخصی روند جدید رفتار خود را از هر یک از سطوح رضایت‌مندی آغاز خواهد کرد. این روش به طور معمول در زمان استفاده از رویکرد زنجیره‌ی مارکوف برای محاسبه‌ی مقدار متوسط طول دنباله به هنگام تغییر در مقدار پارامترهای فرایند اعمال می‌شود. اما در اینجا توجه به این نکته لازم است که پس از ایجاد تغییر، برای محاسبه‌ی ماتریس R نمی‌توان بلا فاصله توزیع آماره‌ی ζ را در شرایط پایدار محاسبه کرد. این مسئله از آنجا ناشی می‌شود که واستگی دوره‌یی در سطح رضایت مشتری باعث می‌شود تأثیر شرایط قبل تا مدتی در مدل احتمالی رفتار مشتری باقی بماند. بنابراین برای محاسبه‌ی دقیق تر مقدار متوسط طول دنباله در شرایط خارج از کنترل از رابطه‌ی ۱۴ استفاده خواهیم کرد.

$$ARL = \pi'_{CUSUM} \left[\sum_{i=1}^T \left(\prod_{j=1}^{i-1} \mathbf{Q}_{CUSUM,j} \right) \mathbf{P}_{CUSUM,i} + \left(\prod_{j=1}^{T-1} \mathbf{Q}_{CUSUM,j} \right) [T(\mathbf{I} - \mathbf{Q}_{CUSUM}) + \mathbf{Q}_{CUSUM}](\mathbf{I} - \mathbf{Q}_{CUSUM})^{-1} \mathbf{P}_{CUSUM} \right] \quad (14)$$

به طوری که \mathbf{I} ماتریس همانی با ابعاد $m \times m$ بوده، بردار $\mathbf{P}_{CUSUM,j}$ و همچنین \mathbf{P}_{CUSUM} برداری با ابعاد $1 \times m$ است که نشان‌دهنده‌ی احتمال وقوع وضعیت خارج از کنترل در مرحله‌ی بعد با شروع از هر یک از m حالت متصور در وضعيت تحت کنترل است. در این رابطه پس از ایجاد تغییر در پارامتر طراحی به جای استفاده مستقيمه از رابطه‌ی ۱۱ که برای محاسبه‌ی ARL معروفی شد برای تعداد دوره‌ی مشخص T ، ماتریس انتقال آماره‌ی جمع تجمعی به طور مستقيمه در محاسبات در نظر گرفته می‌شود و سپس با استفاده از محاسبه‌ی حد مجموع یک سری هندسی، در بقیه دوره‌ها از ماتریس انتقال ثابت استفاده می‌کنیم. این بدان معناست که ترسیدن مجدد به وضعیت پایدار پس از ایجاد تغییر لازم است ماتریس انتقال نمودار کنترل جمع تجمعی به صورت دوره به دوره محاسبه شود. برای نمونه، براساس

است. در این رابطه $\omega_{j,t} = 1, \dots, K$, مقادیر عرض از مبدأ را نشان می‌دهد که در حضور محدودیت $\omega_{j,t} > \dots > \omega_{j,2} > \omega_{j,1}$ تعریف شده و $\omega_{j,t}$ مقدار ضریبی است که بیان‌گر چگونگی تأثیر پارامتر مشخصه مشتری بر احتمال جدایی اوست.

خاطر نشان می‌سازد همچون قسمت ۲ می‌توان با استفاده از داده‌های رضایت‌سنجی برای براورد پارامترهای مدل با استفاده از روش بیشترین درست‌نمایی اقدام کرد. درخصوص نحوه محاسبه‌ی تابع درست‌نمایی در مطالعات موجود^[۱۷] توضیح داده شده است. قبل از بحث درباره‌ی روش طراحی نمودار کنترل برای پایش سطح وفاداری مشتری، یادآور می‌شود که رابطه‌ی مورد نیاز برای تعیین توزیع پسین پارامتر θ پس از دریافت آخرین مشاهده از رفتار مشتری در ضمیمه ارائه شده است.

۱.۳. طراحی نمودار کنترل جمع تجمعی در سطح انفرادی

با چشم‌پوشی از بیان مجدد مطالب مقدماتی که در بخش ۱.۲. مطرح شد در اینجا بر اساس مدل ارائه شده برای ارتباط متغیرهای رضایت و وفاداری مشتری در شکل ۴، درباره‌ی نحوه طراحی نمودار جمع تجمعی با هدف کشف تغییر در سطح وفاداری مشتری توضیح داده می‌شود. یادآور می‌شود که برای این منظور، با رجوع به رابطه‌ی ۱۶، پارامتر β_1 را که بیان‌گر میزان تأثیرپذیری درجه وفاداری مشتری از سطح رضایت‌مندی اوست به عنوان پارامتر مفروض این پارامتر، از آماره‌ی نمودار کرده و برای کشف تغییرات افزایشی در مقدار مفروض این پارامتر، از آماره‌ی نمودار جمع تجمعی که توسط رابطه‌ی ۶ معروفی شد استفاده می‌کنیم. چون در این قسمت نمودار کنترل برای یک مشتری خاص طراحی می‌شود، در ادامه از به کار بردن اندیس مشخصه‌ی مشتری خودداری می‌شود.

در رابطه‌ی ۶، $\omega_{j,t}$ نشان‌گر وزن تخصیص یافته به مشاهده در زمان t است و در اینجا به شکل $\omega_t = \log [L(\beta_1^{O,c}; (LoS_t, LoL_t)) / L(\beta_1^{I,c}; (LoS_t, LoL_t))]$ محسوبه می‌شود که در آن $\beta_1^{I,c}$ و $\beta_1^{O,c}$ به ترتیب مقادیر تحت کنترل و خارج از کنترل برای پارامتر طراحی نمودار جمع تجمعی هستند. در حقیقت $\beta_1^{O,c}$ مقدار پیش‌فرض برای حالت خارج از کنترل است که علاوه‌نهادیم وقوع این تغییر در سریع‌ترین زمان ممکن کشف شود. بدین ترتیب، $\omega_{j,t}$ بیان‌گر لگاریتم نسبت درست‌نمایی داده‌ی دوره‌ی t برای مشتری مورد نظر به ازای وضعیت خارج از کنترل پیش‌فرض و وضعیت تحت کنترل است.

برای استفاده از نمودار جمع تجمعی، در هر دوره پس از دریافت داده‌های رضایت و وفاداری مشتری، مقدار وزن مشاهده محاسبه می‌شود و مطابق رابطه‌ی ۶، در رابطه‌ی مربوط به نمودار جمع تجمعی قرار داده می‌شود. مادامی که مقدار آماره‌ی جمع تجمعی در فضای تحت کنترل که با ناحیه‌ی H_t^+ مشخص شده است قرار گیرد و وضعیت طبیعی رفتار مشتری بدون تغییر تلقی خواهد شد. تعیین حد کنترل H_t^+ ، منوط به در نظر گرفتن مقداری مشخص برای شاخص متوسط طول دنباله در وضعیت طبیعی، یعنی ARL است. ما در اینجا از روش مدل‌سازی زنجیره‌ی مارکوف برای محاسبه‌ی شاخص متوسط طول دنباله استفاده می‌کنیم.

برای استفاده از رویکرد مدل‌سازی زنجیره‌ی مارکوف، پس از تعمیم فضای $(\omega_{j,t}, H_t^+)$ به ناحیه با طول برابر از رابطه‌ی ۸ برای محاسبه‌ی ماتریس انتقال به منظور جابه‌جایی آماره‌ی جمع تجمعی طی دو پریود متولی $t + 1$ و t استفاده می‌شود. در اینجا چنانچه مطابق رابطه‌ی ۱۸ نحوه محاسبه‌ی وزن مشاهده در نمودار جمع تجمعی را در نظر بگیریم؛ متوجه خواهیم شد که توزیع وزن مشاهدات یک توزیع گسسته با K مقدار مجرای است که نحوه محاسبه‌ی احتمالات

رخداد جدایی یا ادامه‌ی تعامل با سازمان انتخاب شده و از سطح وفاداری مشتری تأثیر می‌پذیرد.

در ادامه به تشریح روابط ریاضی متغیرها می‌پردازیم. از آنجا که روند پویای تغییرات رضایت‌مشتری و تأثیرپذیری آن از کیفیت خدمت ارائه شده همچون قسمت ۲ در نظر گرفته می‌شود، برای جلوگیری از تکرار مطلب، از بیان مدل مربوط به تعیین سطح متغیر $LoSt$ خودداری، و به ذکر این نکته بسته می‌شود که به منظور تعریف روند تغییرات رضایت‌مندی روابط ریاضی مورد نیاز در قسمت ۲ طی روابط ۱ تا ۳ ارائه شده است. همچنین رابطه‌ی ۴ نحوه‌ی مدل‌سازی میزان رضایت‌مشتری را در پایان اولین دوره از شروع تعامل با سازمان بیان می‌کند. در ادامه برای بیان رابطه‌ی تابعی رضایت و وفاداری مشتری، از رابطه‌ی ۱۵ استفاده می‌کنیم.

$$p_{iit} = P(LoL_t = i | LoS_t = i, CDV, \alpha_{it}, \theta_t); \quad (15)$$

به طوری که p_{iit} بیان‌گر احتمال کسب سطح وفاداری i ، $i = 1, \dots, K$ (برای مشتری با سطح رضایت‌مندی i ، $i = 1, \dots, K$) در دوره‌ی زمانی t است. بیان ریاضی مربوطه به کمک مدل رگرسیون لجستیک ترتیبی توسط رابطه‌ی ۱۶ ارائه شده است.

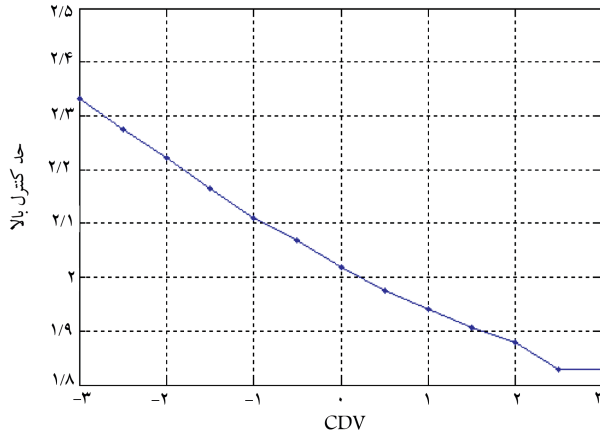
$$\begin{aligned} p_{iit} &= \frac{1}{1 + e^{-(\beta_{i,1} + \beta_{i,2} \times i + CDV' \beta_i + \alpha'_{it} \beta_i + \theta_i)}} \\ p_{ijt} &= \frac{1}{1 + e^{-(\beta_{j,1} + \beta_{j,2} \times i + CDV' \beta_j + \alpha'_{jt} \beta_j + \theta_j)}} \\ p_{ikt} &= 1 - \frac{1}{1 + e^{-(\beta_{k,1} + \beta_{k,2} \times i + CDV' \beta_k + \alpha'_{kt} \beta_k + \theta_k)}} \\ i &= 1, 2, \dots, k, \quad j = 2, \dots, K-1 \end{aligned} \quad (16)$$

به طوری که $\beta_{i,1} = 1, \dots, K-1$ (پارامترهای عرض از مبدأ مدل و $\beta_{i,2}$ بیان‌گر میزان تأثیرپذیری سطح وفاداری به ازای سطوح مختلف رضایت‌مندی مشتری است که با $i = 1, \dots, K$ ، نشان داده شده است. ضرایب $\beta_{j,1}$ و $\beta_{j,2}$ سایر پارامترهای مدل را نشان می‌دهد. شایان توجه است که در اینجا بدون لطمہ به کلیت مسئله‌ی تحت بررسی، تعداد سطوح مورد نیاز برای سنجش مقدار وفاداری همچون متغیر رضایت مشتری برابر با K فرض شده است.

در ادامه به بررسی سطح آخر شکل ۴ یعنی رابطه‌ی متغیر C_t ، به عنوان تمايل یا عدم تمايل مشتری برای ادامه تعامل با سازمان در پایان دوره‌ی t ، با سطح وفاداری مشتری یعنی متغیر LoL_t می‌پردازیم. با پذیرش این فرضیه‌ی منطقی که تصمیم مشتری مبنی بر قطع تعامل یا ادامه‌ی خرید به عنوان یک متغیر بازیزی، تابعی از سطح وفاداری او خواهد بود، مطابق رابطه‌ی ۱۷ از مدل ریاضی مناسب برای نمایش وابستگی مذکور استفاده می‌شود. این وابستگی بر این اساس که در صورت قطع همکاری مشتری با سازمان مقدار C_t برابر با ۱ و در غیر این صورت برابر با صفر خواهد بود، با استفاده از مدل رگرسیون لجستیک در این رابطه نشان داده شده است.

$$w_{jt} = P(C_t = 1 | LoL_t = j, CDV, \theta_t) = \frac{1}{1 + e^{-(\omega_{j,t} + CDV' \omega_{j,t} + \theta_t)}}, \quad j = 1, 2, \dots, K \quad (17)$$

در رابطه‌ی ۱۷ احتمال تمايل مشتری برای خرید مجدد به صورت تابعی از سطح وفاداری او، خصوصیات مشهود و پارامترهای نامعلوم مربوط به مشتری ارائه شده



شکل ۵. رابطه‌ی حد کنترل نمودار کنترل جمع تجمعی (H^+) برای دست‌یابی به مقدار مطلوب $ARL_0 = 200$ در مقابل مقدار امتیاز مشخصه مشتری (CDV) در دامنه $[-3, +3]$ با اندازه گام ($m = 1000, 0/5$).

همچون قسمت ۱.۲، چنانچه علاقه‌مند به کشف تغییرات کاهشی در مقدار پارامتر مورد نظر باشیم می‌توان با استفاده از رابطه‌ی ۱۲ برای محاسبه‌ی آماره‌ی جمع تجمعی اقدام کرد. در این مورد نیز برای محاسبه‌ی مقدار متوسط طول دنباله در شرایط تحت کنترل و همچنین به‌منظور محاسبه‌ی مقدار حد کنترل نمودار که با نماد H^- نشان‌داده می‌شود می‌توان از رویه‌ی مدل‌سازی زنجیره‌ی مارکوف به‌طور مشابه استفاده کرد.

در اینجا با توجه به این که در قسمت ۱.۲ درباره‌ی نحوه‌ی محاسبه‌ی شاخص متوسط طول دنباله در زمان استفاده‌ی همزمان از دو نمودار جمع تجمعی -- یکی برای کشف تغییرات افزایشی و یکی برای محاسبه‌ی شاخص متوسط طول دنباله شده است، به ذکر این نکته بسمنه‌ی کنیم که برای محاسبه‌ی شاخص متوسط طول دنباله در شرایط خارج از کنترل می‌توان مستقیماً از رابطه‌ی ۱۱ استفاده کرد به‌طوری که در آن π_{CUSUM} همان بردار احتمالات حدی ماتریس انتقال نمودار جمع تجمعی در وضعیت تحت کنترل است اما Q_{CUSUM} برای شرایط خارج از کنترل باید مجدداً محاسبه شود. در واقع تفاوت در این نکته است که در شرایط خارج از کنترل، توزیع احتمالی وزن مشاهدات تغییر می‌یابد.

در اینجا برای توضیح از یک نمونه‌ی عددی استفاده می‌کنیم. برای مثال، در حالتی که $K = 5$ در نظر گرفته شود، چنانچه اطلاعات یک مشتری خاص به صورت $CDV = 0, 5$ ارائه شده باشد و پارامترهای توزیع متغیر θ به صورت $r = 3$ و $s = 3$ منظور شود، دو نمودار شکل‌های ۶ و ۷ توزیع احتمال وزن مشاهدات را در دو وضعیت که مقدار پارامتر β_1 دچار تغییر شده است در کنار توزیع اوزان در وضعیت تحت کنترل نشان می‌دهد. در این مورد، مشابه قسمت ۱.۲، مقدار ضرایب مدل رگرسیون لجستیک ترتیبی در رابطه‌ی ۱۶ برابر با $\beta_{1,1} = 3, 94$ ، $\beta_{1,2} = 7, 55$ ، $\beta_{1,3} = 11, 02$ ، $\beta_{1,4} = 14, 62$ و $\beta_{1,5} = 0, 2$ منظور شده است.

بنابراین می‌توان با محاسبه‌ی مجدد ماتریس انتقال نمودار کنترل جمع تجمعی (Q_{CUSUM})، براساس توزیع احتمال جدید، مقدار شاخص متوسط طول دنباله را با استفاده از رابطه‌ی ۱۱ محاسبه کرد. در نهایت برای ارزیابی عملکرد نمودار جمع تجمعی با هدف کشف تغییرات کاهشی یا افزایشی در پارامتر طراحی نمودار (β_1)، در جدول ۲ مقادیر شاخص متوسط طول دنباله برای کشف تغییرات مشخص شده ارائه شده است. مقدار متوسط طول دنباله در اینجا با استفاده از رویکرد مدل‌سازی

مربوطه در ادامه توضیح داده خواهد شد.

$$\begin{aligned} \omega_t &= \log \left[\frac{L(\beta_1^{Oc}; (LoS_t, LoL_t))}{L(\beta_1^{Ic}; (LoS_t, LoL_t))} \right] \\ &= \log \left[\frac{E_\theta(q_{LoS_{t-1} \rightarrow LoS_t, t}) E_\theta(p_{LoS_t, LoL_t, t}^{Oc})}{E_\theta(q_{LoS_{t-1} \rightarrow LoS_t, t}) E_\theta(p_{LoS_t, LoL_t, t}^{Ic})} \right. \\ &\quad \times \left. \frac{E_\theta(1 - w_{LoL_t, t})}{E_\theta(1 - w_{LoL_t, t})} \right] = \log \left[\frac{\int p_{LoS_t, LoL_t, t}^{Oc} g(\theta_t | r, s) d\theta_t}{\int p_{LoS_t, LoL_t, t}^{Ic} g(\theta_t | r, s) d\theta_t} \right] \\ &= \log \left[\frac{\int p_{LoS_t, LoL_t, t}^{Oc} g(\theta_t | r, s) d\theta_t}{\int p_{LoS_t, LoL_t, t}^{Ic} g(\theta_t | r, s) d\theta_t} \right] \end{aligned} \quad (18)$$

به‌طروری که با توجه به رابطه‌ی ۱۶، صرف نظر از متغیر a_{2t} که بیان‌گر نوع اقدام بازاریابی نشان‌دهنده مقدار احتمال مربوط به مشاهده مورد نظر به‌ازای مقادیر β_1^{Oc} و β_1^{Ic} هستند.

با در نظر گرفتن رابطه‌ی ۱۶، صرف نظر از متغیر a_{2t} که بیان‌گر نوع اقدام بازاریابی در دوره‌ی t است، مقدار متغیر ω_t تابعی از متغیرهای $i, j = 1, \dots, K$ و p_{ijt}^{Oc} و p_{ijt}^{Ic} است که از این بین با تمرکز بر یک مشتری خاص متغیر CDV دارای مقدار مشخصی خواهد بود. بنابراین توزیع آماره‌ی ω_t با توجه به حضور متغیر LoS_t ، توسط یک توزیع گسسته شامل $K \times K$ مقدار مختلف قابل تعریف است. پس از تعیین مقادیر ممکن آماره‌ی ω_t ، لازم است مقدار احتمال پذیرش هریک از این مقادیر نیز محاسبه شود. برای این منظور تعیین احتمال وقوع $K \times K$ رخداد، که از تلاقی دو متغیر LoS_t و LoL_t حاصل می‌شود، ضرورت می‌یابد. در اینجا، در گام اول با استفاده از معادله‌ی ۱۵ مقدار احتمالات حدی برای ماتریس انتقال سطح رضایت مشخص می‌شود و در مرحله‌ی بعد از طریق ضرب بردار حاصله در ماتریس احتمالات رابطه‌ی ۱۶ توزیع احتمال آماره‌ی ω_t تعیین می‌شود. در این روش ابتدا از رابطه:

$$E(q_{i-j}) = \int_0^\infty \int_0^1 q_{i-j} g(\theta | r, s) h(QoS | \mu_{QoS}, \sigma_{QoS}) d\theta dQoS, \quad (i, j = 1, \dots, K)$$

برای جای‌گذاری در رابطه‌ی ۱۰ و در مرحله بعد از رابطه:

$$E(p_{jl}) = \int_0^\infty p_{jl} g(\theta | r, s) d\theta, \quad (j, l = 1, \dots, K)$$

برای محاسبه‌ی مؤلفه‌های ماتریس احتمالات استفاده می‌شود. بدین ترتیب با در اختیار داشتن مقادیر وزن مشاهدات در آماره‌ی جمع تجمعی و توزیع احتمال مربوطه می‌توان ماتریس انتقال مورد نیاز در روش مدل‌سازی زنجیره‌ی مارکوف را تکمیل کرد. نحوه‌ی محاسبه‌ی مقدار شاخص متوسط طول دنباله در وضعیت تحت کنترل توسط رابطه‌ی ۱۱ شرح داده شد و در اینجا از تشریح مجدد جزئیات خودداری می‌شود.

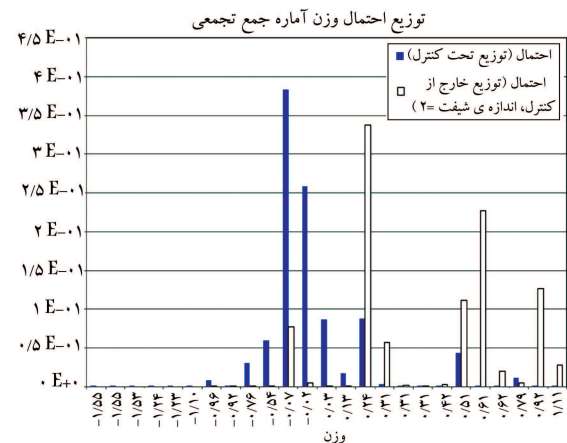
حال با توجه به نحوه‌ی محاسبه‌ی شاخص متوسط طول دنباله که تشریح شد، می‌توان مقدار حد کنترل نمودار (H^+) را برای دست‌یابی به مقدار مطلوب متوسط طول دنباله در شرایط تحت کنترل (ARL_0) محاسبه کرد. در شکل ۵ مقدار حد H^+ در برابر مقادیر مختلف پارامتر مشخصه مشتری (CDV) نشان داده شده است. این نمودار به‌ازای مقادیر $ARL_0 = 200$ محاسبه شده و تعداد نواحی فضای تحت کنترل برای انجام محاسبات در روش زنجیره‌ی مارکوف یعنی $m = 1000$ برابر با در نظر گرفته شده است.

جدول ۲. مقادیر متوسط طول دنباله برای نمودار کنترل جمع تجمعی برای کشف تغییر پارامتر β_1 ($\beta_1^{0c} = \Delta \times \beta_1^{Ic}$) در رابطه‌ی رضایت - وفاداری برای یک مشتری با $H^- = -1,91729$, $CDV = 1,91729$, $ARL_U = 1,91729$ و $ARL_D = 1,91729$.

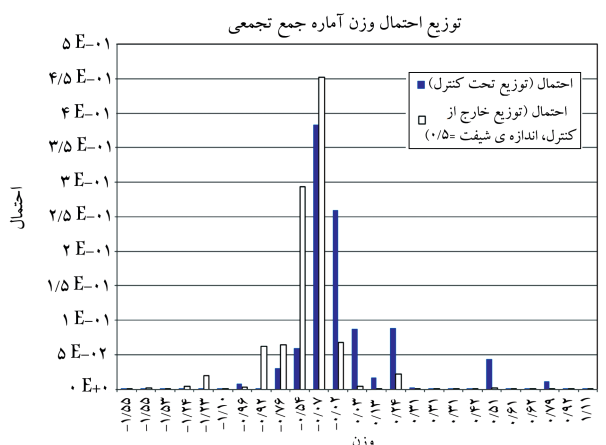
$\frac{ARL_U \cdot ARL_D}{ARL_U + ARL_D}$	$ARL_{Downward}$	SRL_{Upward}	Δ
۶,۵۰	۶,۵۰	--	۰,۵
۱۱,۸۱	۱۱,۸۱	--	۰,۷۵
۱۵,۱۰	۱۵,۱۰	--	۰,۸
۳۴,۴۹	۳۴,۸۴	--	۰,۹
۶۵,۸۲	۷۲,۱۷	--	۰,۹۵
۱۰۰,۲۸	۲۰۲,۱۷	۱۹۸,۹۶	۱
۳۵,۳۱	--	۳۵,۶۸	۱,۱
۱۵,۲۵	--	۱۵,۲۵	۱,۲
۵,۷۳	--	۵,۷۳	۱,۵
۴,۰۳	--	۴,۰۳	۲

و فداداری مشتریان از طریق برنامه‌ی رضایت‌سنجی مناسب در دوره‌های زمانی منظم گردآوری و گزارش می‌شود. این مقاله در دو بخش اصلی که بر پایه‌ی روش ثبت داده‌های وفاداری مشتری تقسیک شده‌اند، نحوه‌ی طراحی و ارزیابی عملکرد نمودار کنترل جمع تجمعی مورد بررسی قرار گرفت. در بخش اول موضوع پایش سطح رضایت مشتری و در بخش دوم موضوع پایش درجه‌ی وفاداری مورد توجه قرار گرفت. در هر دو قسمت از مدل رگرسیون لجستیک برای توضیح رابطه‌ی رضایت و فداداری مشتریان استفاده شد و فرض شده است رضایت‌مندی مطابق مدل همبستگی با تأثیر زمانی یک واحد تغییر می‌یابد. محاسبه‌ی آماره‌ی جمع تجمعی در هر لحظه -- پس از دریافت آخرین مشاهده از میزان رضایت، وفاداری مشتری در لحظه‌ی قبل -- با استفاده از توزیع احتمالی به روزسانی شده برای پارامتر بخش نامشهود اطلاعات مشتری ممکن بوده و این موضوع دستاورد اصلی مقاله برای ایجاد امکان پایش روند تغییرات نوع نگرش مشتری در سطح انفرادی بر مبنای داده‌ی در دسترس از رفتار خاص هر مشتری است. توزیع پیشین برای پارامتر اطلاعات نامشهود یک توزیع بتا در نظر گرفته شد و توزیع پسین در هر لحظه براساس مشاهدات تا لحظه‌ی قبل به‌کمک قاعده بیز تعیین و برای تسهیل محاسبات با توزیع بتا مناسب تقریب زده می‌شود.

معیار متوسط طول دنباله در دو وضعیت تحت کنترل و خارج از کنترل مطابق رویکرد زنجیره‌ی مارکوف و براساس تعیین توزیع احتمالی آماره نسبت درست‌نمایی به عنوان وزن مشاهدات در نمودار جمع تجمعی محاسبه شد. این رویکرد امکان محاسبه‌ی مقدار حد کنترل را مطابق با شرایط منحصر به فرد هر مشتری فراهم کرده که این موضوع به عنوان دستاورد دیگر مقاله قابل طرح است. پس از تعیین حد کنترل، نمونه‌یی از تابیع مربوط به کشف تغییرات در رابطه‌ی رضایت - وفاداری در جداول ۱ و ۲ ارائه شده و مورد بحث قرار گرفت.



شکل ۶. توزیع وزن مشاهدات در آماره‌ی جمع تجمعی در وضعیت خارج از کنترل $CDV = 2 \times \beta_1^{0c} = 2 \times \beta_1^{Ic}$ برای یک مشتری خاص با $0,5$.



شکل ۷. توزیع وزن مشاهدات در آماره‌ی جمع تجمعی در وضعیت خارج از کنترل $CDV = 0,5 \times \beta_1^{0c} = 0,5 \times \beta_1^{Ic}$ برای یک مشتری خاص با $0,5$.

زنگیره‌ی مارکوف محاسبه شده است. این نمودار کنترل برای یک مشتری خاص با وزن $0,5$, $CDV = 0,5 \times \beta_1^{Ic} = 0,5$ برای نمودار جمع تجمعی یکطرفه‌ی پایین یکطرفه‌ی بالا و $0,9 \times \beta_1^{0c} = 0,9 \times \beta_1^{Ic}$ برای نمودار جمع تجمعی یکطرفه‌ی پایین طراحی شده است.

۴. نتیجه‌گیری

در این مقاله با توجه به اهمیت روزافزون پایش به هنگام شاخص‌های نظام مدیریت ارتباط با مشتری، روش طراحی نمودار کنترل جمع تجمعی برای دو متغیر رضایت و فداداری و رضایت‌مندی مشتری بر مبنای یک مدل مفروض برای روند تغییرات دو شاخص مذکور و براساس بهکارگیری داده‌هایی که معمولاً از طریق روش‌های متداول رضایت‌سنجی مشتری قابل دسترسی است ارائه شد. دریافت سیگنال هشدار در سریع‌ترین زمان ممکن در صورت برخورد تغییر در الگوی رفتار طبیعی مشتری با هدف بهبود سیاست‌های مدیریت ارتباط با مشتری به عنوان ضرورت پرداختن به موضوع تحقیق در این مقاله بهشمار می‌رود.

در طراحی نمودار کنترل، وجود رابطه‌ی تابعی بین دو متغیر رضایت و فداداری مشتری مورد توجه قرار گرفت. فرض شده است مشاهدات مربوط به سطح رضایت

در پایان می‌توان از عدم به کارگیری داده‌های واقعی برای اعتبارسنجی مدل مفروض برای تغییرات شاخص رضایت و وفاداری مشتری که تا حد زیادی متأثر از مضیقه زمانی برای انجام تحقیق است به عنوان یکی از محدودیت‌های مقاله ای حاضر نام برد. همچنین استفاده از مدل رگرسیون بیزی که در صورت عدم وجود داده‌های مستقیم برای سطح رضایت و وفاداری مشتری یا در صورت بروز داده‌ی مفقوده، امکان برآورد سطح واقعی رضایت‌مندی را به کمک شواهدی همچون زمان بین دو خرید متوالی یا میزان مصرف مشتری در دوره زمانی معین فراهم می‌سازد به عنوان مسیر توسعه‌ی مطالعه حاضر مورد توجه نویسنده‌گان مقاله است.

به طور کلی، چنان که پیش از این توضیح داده شد هنگامی که عرضه کننده علاقه‌مند به پایش رفتار یک مشتری یا تعدادی از مشتریانش به شکلی دقیق تر باشد، می‌توان مشابه طریقی که در این مقاله پیشنهاد شد از روش‌های کنترل با حساسیت بالا همچون نمودار کنترل جمع تجمعی که از توانایی کشف تغییرات کوچک در پارامترهای فرآیند برخوردار است استفاده کرد. اگرچه شناسایی نقطه‌ی تغییر در مدل طبیعی رفتار مشتری در این مقاله مورد بررسی قرار نگرفت اما تخمین نقطه‌ی تغییر ازجمله قابلیت‌های جالب توجه و یکی از عملکردهای محققین برای استفاده از نمودار کنترل جمع تجمعی است.

منابع (References)

1. Aghaie A., Shahriari H. and Samimi Y. "Monitoring customer loyalty on the basis of a time series model for ordered categorical data", Working Paper, Industrial Engineering Department, K.N. Toosi University of Technology (2012).
2. Fornell, C., Johnson, M.D., Anderson, E.W., Cha, J. and Bryant, B.E. "The American customer satisfaction index: Nature, purpose, and findings", *Journal of Marketing*, **60**(4), pp. 7-18 (1996).
3. Johnson, M.D., Gustafsson, A., Andreassen, T. W., Lervik, L. and Cha J. "The evolution and future of national customer satisfaction index models", *Journal of Economic Psychology*, **22**, pp. 217-245 (2001).
4. Kim, M.-K., Park, M.-C. and Jeong, D.-H. "The effects of customer satisfaction and switching barrier on customer loyalty in Korean mobile telecommunication services", *Telecommunications Policy*, **28**, pp. 145-159 (2004).
5. Kim, H.-S. and Yoon, C.-H. "Determinants of subscriber churn and customer loyalty in the Korean mobile telephony market", *Telecommunications Policy*, **28**, pp. 751-765 (2004).
6. Ahn, J.-H., Han, S.-P. and Lee, Y.-S. "Customer churn analysis: Churn determinants and mediation effects of partial defection in the Korean mobile telecommunications service industry", *Telecommunications Policy*, **30**, pp. 552-568 (2006).
7. Bolton, R.N. "A dynamic model of the duration of the customer's relationship with a continuous service provider: The role of satisfaction", *Marketing Science*, **17**(1), pp. 45-65 (1998).
8. Mavri, M. and Ioannou, G. "Customer switching behavior in Greek banking services using survival analysis", *Managerial Finance*, **34**(3), pp. 186-197 (2008).
9. Samimi, Y., Aghaie, A. and Tarokh, M.J. "Analysis of ordered categorical data to develop control charts for monitoring customer loyalty", *Applied Stochastic Models in Business and Industry*, **26**(6), pp. 668-688 (2010).
10. Jiang, W., Au, T. and Tsui, K.-L. "A statistical process control approach to business activity monitoring", *IIE Transactions*, **39**, pp. 235-249 (2007).
11. Tsung, F., Zhou, Z. and Jiang, W. "Applying manufacturing batch techniques to fraud detection with incomplete customer information", *IIE Transactions*, **39**, pp. 671-680 (2007).
12. Ye, N. and Chen, Q. "Attack-norm separation for detecting attack-induced quality problems on computers and networks", *Quality and Reliability Engineering International*, **23**, pp. 545-553 (2007).
13. Impellizzeri, F.M., Bizzini, M., Leunig, M., Maffiuletti, N.A. and Mannion, A.F. "Money matters: Exploiting the data from outcomes research for quality improvement initiatives", *European Spine Journal*, **18**(3), pp. 348-359.
14. Kenett, R.S., Deldossi, L. and Zappa, D. "Quality standards and control charts applied to Customer surveys", in *Modern Analysis of Customer Surveys: With Applications Using R* (eds R. S. Kenett and S. Salini), John Wiley & Sons, Ltd, Chichester, UK. doi: 10.1002/9781119961154.ch20 (2011).
15. Hayes, B.E., *Measuring Customer Satisfaction, Development and Use of Questionnaires*, ASQ Quality Press, USA (1992).
16. Montoya, R., Netzer, O. and Jedidi, K. "Dynamic allocation of pharmaceutical detailing and sampling for long-term profitability", *Marketing Science*, DOI: 10.1287, **29**(5), pp. 909-924 (2010).
17. Samimi, Y. "Integrating statistical process control (SPC) techniques and probability models to develop model-based monitoring methods for customer usage behavior", PhD Dissertation, Chapter 3, K.N. Toosi University of Technology, Iran (2011).
18. Hawkins, D.M. and Olwell, D.H., *Cumulative Sum Charts and Charting for Quality Improvement*, Springer-Verlag New York, Inc (1998).
19. Moustakides, G.V. "Optimal stopping times for detecting changes in distributions", *The Annals of Statistics*, **14**, pp. 1379-1387 (1986).
20. Brook, D. and Evans, D.A. "An approach to the probability distribution of CUSUM run length", *Biometrika*, **59**, pp. 539-549 (1972).
21. Reynolds, M.R. and Stoumbos, Z.G. "A CUSUM chart for monitoring a proportion when inspecting continuously", *Journal of Quality Technology*, **31**(1), pp. 87-108 (1999).

عملیات به روزرسانی و بعد از جایگذاری روابط ۳ و ۵ دارای شکل ریاضی قابل خلاصه سازی نیست و این امر به پیچیدگی محاسبات و همچنین طولانی شدن زمان انجام آن خواهد انجامید، براساس یک روش تقریبی، توزیع متغیر تصادفی θ_{t+1} با توزیع بتأی مناسب تقریب زده می شود. برای این منظور پس از محاسبه ایامد ریاضی و واریانس متغیر تصادفی θ_{t+1} با استفاده از رابطه ای فوق به کمک روش انتگرال گیری عددی، از طریق حل مجموعه معادلات زیر مقدار r_{t+1}, s_{t+1} تعیین می شود.

$$\begin{cases} E(\theta_{t+1}) = \frac{r_{t+1}}{r_{t+1} + s_{t+1}} \\ Var(\theta_{t+1}) = \frac{r_{t+1}}{(r_{t+1} + s_{t+1})^2} \times \frac{s_{t+1}}{(r_{t+1} + s_{t+1})^2} \end{cases} \quad (ض ۴)$$

بدین ترتیب، امکان به روزرسانی توزیع پارامتر θ تسهیل شده و انجام محاسباتی که نیازمند استفاده از توزیع به روز شده ای این پارامتر است با پیچیدگی کمتر و با سرعت بالاتر قابل انجام است.

۳. به هنگام سازی توزیع پارامتر θ در مدل دوم در اینجا، درباره نحوه بروزرسانی توزیع پارامتر θ برای دوره $t+1$ با در دست داشتن اطلاعات پیشین در دوره t و آخرین مشاهده از رفتار مشتری توضیح می دهیم. این پارامتر در روابط ریاضی مربوط به مدل ارائه شده در قسمت ۳ مورد استفاده قرار گرفته است. با استفاده از قاعده بیز می توان براساس مقدار تابع درست نمایی برای آخرین مشاهده از رفتار یک مشتری، به شکل زیر توزیع پسین متغیر θ را تعیین کرد:

$$g_i(\theta_{t+1}) = \frac{g_i(\theta_t)l_{i,t}(\theta_t | LoS_{i,t+1}, LoL_{i,t+1}, C_{i,t+1})}{l_{i,t}(r_t, s_t | LoS_{i,t+1}, LoL_{i,t+1}, C_{i,t+1})} \\ = \frac{g_i(\theta_t) \left[\begin{array}{c} q_{LoS_{i,t} \rightarrow LoS_{i,t+1}, t+1} \\ \times p_{LoS_{i,t+1}, LoL_{i,t+1}, t+1} \\ (W_{LoL_{i,t+1}, t+1})^{C_{i,t+1}} \\ \times (1 - W_{LoL_{i,t+1}, t+1})^{1-C_{i,t+1}} \end{array} \right]}{\int_0^1 \left\{ \begin{array}{c} q_{LoS_{i,t} \rightarrow LoS_{i,t+1}, t+1} \\ \times p_{LoS_{i,t+1}, LoL_{i,t+1}, t+1} \\ (W_{LoL_{i,t+1}, t+1})^{C_{i,t+1}} \\ \times (1 - W_{LoL_{i,t+1}, t+1})^{1-C_{i,t+1}} \\ \times g_i(\theta_t | r_t, s_t) d\theta_t \end{array} \right\}} \quad (ض ۵)$$

مانند قبل، $l_{i,t}$ تابع درست نمایی مشاهدات است که توضیحات مربوطه به نحوه محاسبه ای آن در دسترس است.^[۱۷] برای دست یابی به توزیعی که انجام محاسبات به کمک آن با پیچیدگی کم تر و با سهولت بیشتر ممکن باشد، توزیع حاصل با توزیع بتأی مناسب تقریب زده می شود. برای این منظور از مجموعه معادلاتی که در رابطه ای (ض ۴) معرفی شد برای تعیین پارامترهای توزیع مورد نظر استفاده می شود.

۱. مدل سطح رضایت در پایان اولین دوره

در خصوص رابطه γ_i ، مدل رگرسیون لجستیک تربیتی برای تعریف پارامتر η_i ($i = 1, \dots, K$)، که بیانگر احتمال کسب سطح رضایت n در پایان اولین دوره ارتباط با عرضه کننده است چنین استفاده می شود:

$$\begin{aligned} \gamma_1 &= \frac{1}{1 + e^{-(\eta_1 + CDV' \eta_1 + \eta_r QoS_1 + a'_{11} \eta_r + \theta_t)}} \\ \gamma_j &= \frac{1}{1 + e^{-(\eta_j + CDV' \eta_1 + \eta_r QoS_1 + a'_{11} \eta_r + \theta_t)}} \\ &\quad - \frac{1}{1 + e^{-(\eta_{j-1} + CDV' \eta_1 + \eta_r QoS_1 + a'_{11} \eta_r + \theta_t)}} \\ \gamma_K &= 1 - \frac{1}{1 + e^{-(\eta_{K-1} + CDV' \eta_1 + \eta_r QoS_1 + a'_{11} \eta_r + \theta_t)}} \\ j &\in \{2, \dots, K-1\} \end{aligned} \quad (ض ۶)$$

به طوری که η_i ($i = 1, \dots, K$)، مقادیر عرض از مبدأ و η_j ($j = 1, \dots, 3$)، سایر ضرایب مدل را نشان می دهد.

۲. به هنگام سازی توزیع پارامتر θ در مدل اول

توزیع پیشین برای پارامتر θ ، در روابط ۳ تا ۵ یک توزیع بتأی محدود به دامنه صفر و ۱ با پارامترهای مشخص r و s در نظر گرفته می شود که تابع چگالی آن توسط رابطه زیر نشان داده است.

$$g(\theta | r, s) = \frac{1}{B(r, s)} \theta^{r-1} (1-\theta)^{s-1}; \quad 0 \leq \theta \leq 1, \quad r > 0, \quad a > 0 \quad (ض ۷)$$

به طوری که $B(r, s) = \int_0^1 x^{r-1} (1-x)^{s-1} dx$ و با استفاده از تابع گاما به شکل $B(r, s) = \Gamma(r)\Gamma(s)/\Gamma(r+s)$ قابل محاسبه است. در اینجا نحوه بروزرسانی توزیع احتمالی پارامتر θ پس از دریافت آخرین مشاهده از رفتار مشتری ارائه می شود. برای این منظور تابع درست نمایی مشاهدات با استفاده از قاعده بیز برای توزیع احتمال θ در دوره $t+1$ براساس توزیع پیشین در دوره t و مشاهدهای حاصل از رضایت سنجی به کار برده می شود.

$$g_i(\theta_{t+1}) = \frac{g_i(\theta_t)l_{i,t}(\theta_t | LoS_{i,t+1}, LoL_{i,t+1})}{l_{i,t}(r_t, s_t | LoS_{i,t+1}, LoL_{i,t+1})} \\ = \frac{g_i(\theta_t) \left[\begin{array}{c} q_{LoS_{i,t} \rightarrow LoS_{i,t+1}, t+1} \\ (p_{LoS_{i,t+1}, LoL_{i,t+1}})^{LoL_{i,t+1}} \\ \times (1 - p_{LoS_{i,t+1}, LoL_{i,t+1}})^{1-LoL_{i,t+1}} \end{array} \right]}{\int_0^1 \left\{ \begin{array}{c} q_{LoS_{i,t} \rightarrow LoS_{i,t+1}, t+1} \\ (p_{LoS_{i,t+1}, LoL_{i,t+1}})^{LoL_{i,t+1}} \\ \times (1 - p_{LoS_{i,t+1}, LoL_{i,t+1}})^{1-LoL_{i,t+1}} \\ \times g_i(\theta_t | r_t, s_t) d\theta_t \end{array} \right\}} \quad (ض ۸)$$

که در آن $l_{i,t}$ بیانگر تابع درست نمایی مشاهدات است که توضیحات مربوط به نحوه محاسبه ای آن در دسترس است.^[۱۷] از آنجا که تابع چگالی حاصل پس از